

(17) Состав и характеристика атомного ядра. Энергия связи ядер. Релятивистическое и кинетическое ядер.

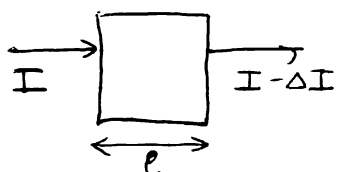
1) РАЗмеры атомных ядер

$$r_{\text{ат}} \approx 10^{-8} \text{ см} = 1 \text{ \AA},$$

$$V_{\text{я}} \approx 10^{-13} \text{ см}$$

Ограничение размеров ядер переходное

расстояние при рассеянии на ядрах:

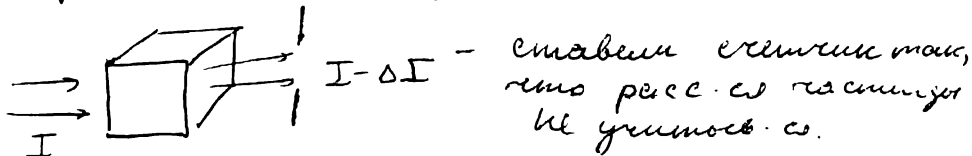


$$-\Delta I = I \rho e h - \text{переход}$$

$$\Delta I = I e n \sigma^d - \text{рассеяние}$$

$$\sigma^d = \pi r_s^2$$

↗ рассеяние & ед. объема: $V = 1 \text{ см}^3$



$\Delta I / I = h \sigma^d / V$ - сечение сечением ядра, что пересекают ядро

$$\frac{\Delta I}{I} = h \sigma^d / V$$

Задан: $\frac{\Delta I}{I} = 0,3$, $n \approx 10^{23} \text{ см}^{-3}$ $\rightarrow h \approx 10^{24} \frac{\text{ам}}{\text{см}^3}$

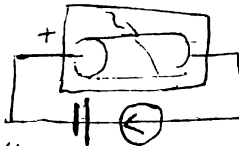
$$\sigma^d = \pi r_s^2 = \frac{\Delta I}{I n e} = \frac{0,3}{10^{24}} = 10^{-24}$$

$$r_s = \sqrt{10^{-24}} = 0,3 \cdot 10^{-12} \Rightarrow r_s \approx 10^{-13} \text{ см}$$

Меморизирующие камеры ядер

1) Струмик Линера Монера

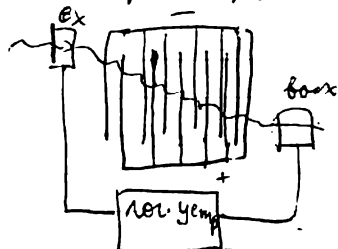
- регистрируют гамма-излучение



2) Ионизация камера

Управляющее входное сопротивление,

формирующее пробой, во время выхода



гамма-излучения

разносить ионизацию

3) Камера Баренса (пузырьковая)

- при проходе гамма-излучения перегревают жидкость
кипят / пересыпают нар погасевшую.

4) Мас - счетчик омеги

a) максимальный: гамма-излучение ген.

разносить ионизацию, $E = qU$, иона в

в камере в ион. поток n

$$\frac{mU^2}{r} = \frac{q}{\epsilon} V U; E_n = qU = \frac{mU^2}{2} \Rightarrow V^2 = \frac{qU^2 r}{m \epsilon}$$

$$\frac{q}{m} = \frac{V^2}{2U}; \frac{q}{m} = \frac{q^2 (U_r)^2}{2U m c^2}; \frac{m}{q} = \frac{(U_r)^2}{2U c^2}$$

8) Время пролета частицы между источником и приемником

$$\tau = \frac{L}{v}, qU = \frac{mv^2}{2}, \tau^2 = \frac{L^2}{v^2} = \frac{L^2 m}{2qU}$$

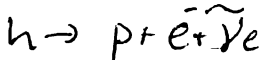
$$\Rightarrow \frac{m}{q} = \frac{2Uc^2}{L^2}$$

Состав ядра

Ядро состоит из протонов и нейтронов

Свободное нейтроне движутся медленно,

время жизни гравитации $\langle \tau \rangle = 15$ мес.



Протоны и нейтроны наз. ядерными частицами



(так ядра можно проанализировать)

Число протонов в ядре однозначно

Z ; число нейтронов N , $A = Z + N$ —

масса ядра. Атомные единицы A

является Z , но разные N — изотопы; единицы A ,

но разные Z — изоэлектронные; единицы N , но различные Z -изотопы.

? В ядрах нет электронов.

$$\Delta x \Delta p = \hbar; \Delta x = 10^{-13} \text{ см} \Rightarrow \Delta p = \frac{\hbar}{10^{-13} \text{ см}}$$

$$\Delta E = \frac{\Delta P^2}{2m} = 10^8 \cdot 3 \cdot 6 = 300 \text{ MeV}$$

снижение деления энергии \Rightarrow
в ядрах нет электронов

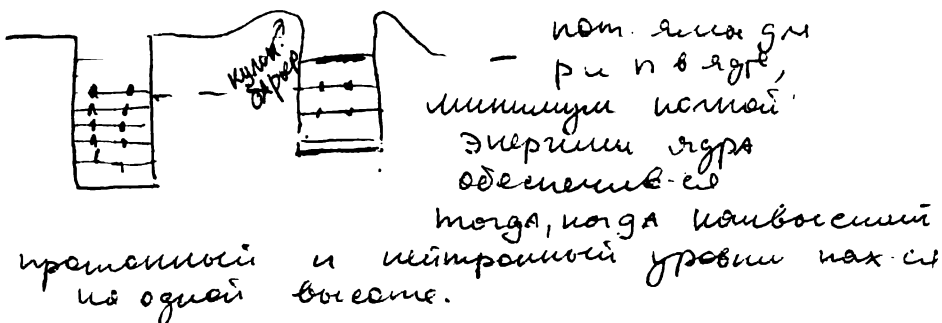
Энергия связи ядер

$$X_z^A, N=A-Z.$$

$$(N \cdot m_n + Z \cdot m_p) c^2 > M_x c^2$$

$$\Delta mc^2 = \Delta E = (N \cdot m_n + Z \cdot m_p - M_x) c^2 -$$

энергия, выделяющаяся при образовании ядра \Rightarrow при образовании ядра нуклонов ненагарантированное место.



Реакции деления и синтеза ядер

Расщепление ядер. Симметричное расщепление

С некоторого критического места

место ядра расщепления не в

расщепляется

Nagep

$$\frac{dN}{dt} = -\lambda N dt, \quad \lambda - \text{коэф. распада}$$

→ N -какоо $N_0 e^{-\lambda t}$ $d+$ - время аксуп-ма

$$N = N_0 e^{-\lambda t}. \quad \text{Решение получ. расчета:}$$

$$T_{1/2} : \frac{N_0}{2} = N_0 e^{-\lambda T}$$

$$T_{1/2} = \ln 2 / \lambda = \frac{0,7}{\lambda}, \quad \tau = \frac{\lambda}{\lambda} = \text{время жизни.}$$

За "время жизни" прохожд. в гипотетич. кол-ве ядер элеменна в N раз.

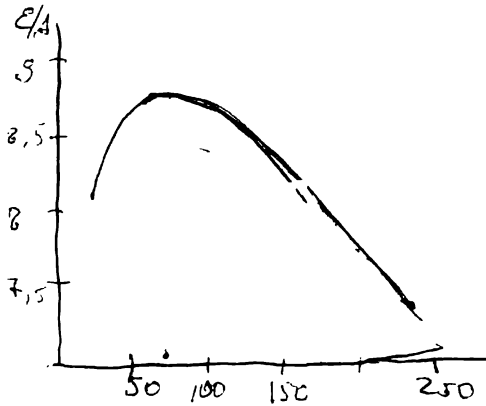
Радиоактивное элеменна

Свинец уран $(T = 4,5 \cdot 10^9 \text{ лет}; U^{235} \rightarrow Pb^{206})$

Свинец актиний $(T = 2 \cdot 10^9 \text{ лет}; U^{235} \rightarrow Pb^{207})$

Свинец торий $(T = 1,4 \cdot 10^{10} \text{ лет}, Th^{232} \rightarrow Pb^{208})$

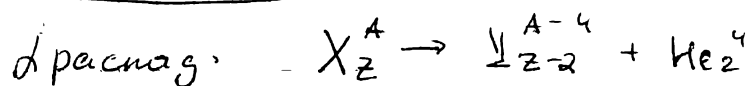
Энергия связи ΔE



(18) Альфа - распад. За балансом

испускается нейтрон в виде излучения

альфа - распад



Эксперимент: если деление энергии
выведения d-распада, меньшее чем
~~весь~~ время ^{перехода} в новый распад:

d-распад обнаруживается образованием
d-частиц в ядре и их последующим
излучением наружу

Процесс распада

1) С вероятностью W_1 в ядре

образуется (с вероятностью энергии $\sim 28 \text{ MeV}$)
d-ассоциация.

2) d-ассоциация имеет энергию E_d

и с вероятностью W_2 она излучается
через конверсию бетона. (Если $E_d > E_\alpha$)

В итоге, вероятность d-распада -

всего d -распадов $W = W_1 \cdot W_2$

Сформулируем Энергия и распределение

в исп. вида на расстояние

$$U = E_d = \frac{(Z-2)e \cdot 20}{R} - \text{Энергия}\newline \text{ионизирующего}\newline \text{частицы в д. расстоянии}\newline \text{см. лекция}$$

Коэф-м изотропии симметрии

$$D = \exp \left\{ - \frac{2}{\hbar} \int \frac{Re}{R} \sqrt{2m_d(U-E_d)} dn \right\}$$

$$U = \frac{2(Z-2)e^2}{n}; Re = \frac{2(Z-2)e}{E_d}$$

$$\Rightarrow \ln D = - \frac{2\pi e^2 (Z-2)}{\hbar} \sqrt{\frac{2m_d}{E_d}} + \frac{8}{\hbar} \sqrt{e^2 (Z-2) R m_d} = \\ = - \frac{B}{\sqrt{E_d}} + C - \text{const независимая}$$

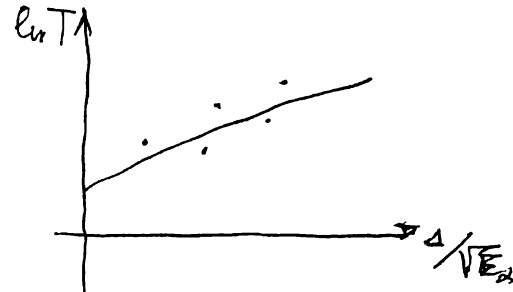
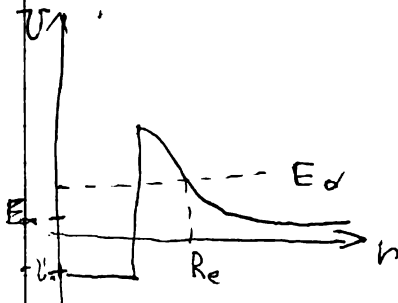
$$\tau \approx \frac{T_0}{D}, \text{ где } T_0 - \text{ время нахождения}$$

Установим д-рассеяния с энергией

~~для~~

$$\Rightarrow \ln \tau = \ln T_0 - \ln D = \ln T_0 - C + \frac{B}{\sqrt{E_d}}$$

\Rightarrow Для установки E_d , надо доказать D

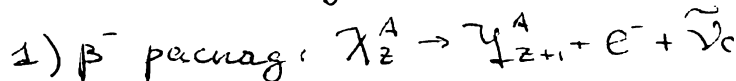


(19) β^- -распад. Открытие нейтрино.

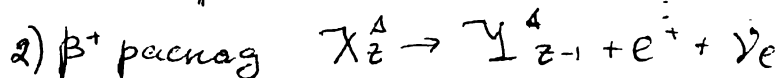
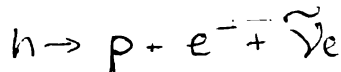
Несохранение пространственной симметрии
при β^- -распаде

β^- -распад - внутримодульный процесс.

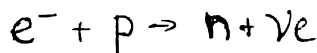
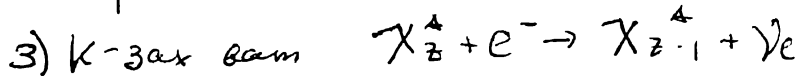
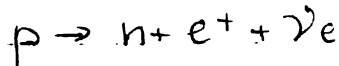
Этапы:



происходит за счет распада н:



происходит за счет изотропного расп.

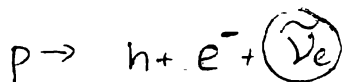


(K-оболочка - элементарная ячейка)

Взаимодействия распадов, происходящих при β^- -распаде, не снимает ~~энергии~~ симметрии, т.к. они являются
бумодействиями \rightarrow их называют смешанными

Открытие нейтрино

* β^- распад



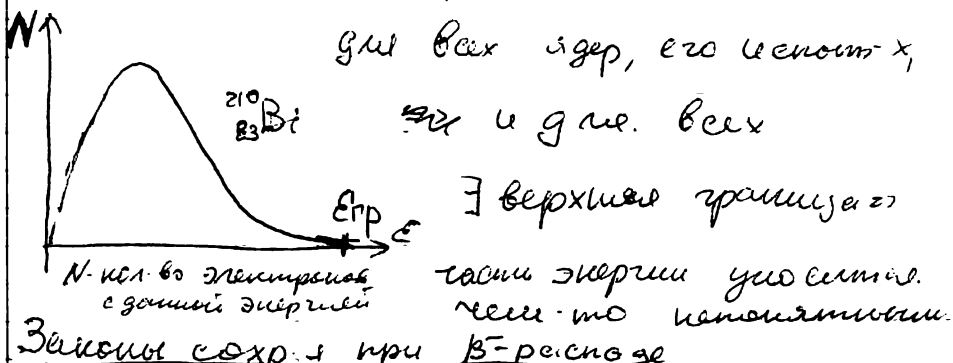
$$h: m_e c^2 = 939,5 \text{ MeV}$$

$$p: m_p c^2 = 938,2 \text{ MeV}$$

$$\Delta m_e^2 = 1,3 \text{ MeV}$$

Самопроизвольное превращение $p \rightarrow n$
известно.

Снижение энергии β^- -распада непрерывно



Закон сохранения при β^- -распаде

З. эксп. заряд $C \rightarrow +1 + -1 -$ Гарднер

З. эксп. мом.чим: $\frac{1}{2} \rightarrow \frac{1}{2} + \frac{1}{2} + ?$

З. эксп. энергии $\Delta m_e^2 = 1,3 \text{ MeV}$ —

Благодаря противовесу с непр.о. симметрии

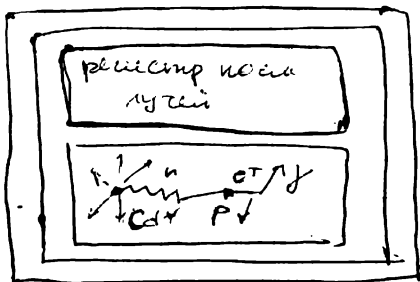
\Rightarrow для выполнения закона необходимо, чтобы

число в реальности было четным

значения, сумма которых = $\frac{1}{2}$)

Заряд — чёт., а энергия $\neq 0$

Этие наименования называются кетонами.



Аннигиляция, вакуум.

В краткосрочном, то есть

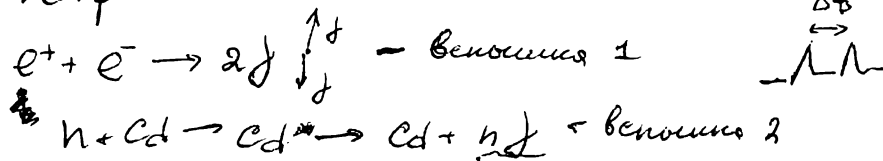
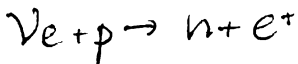
здесь кетонов
и нейтронов.

Нейтрон уходит

в Cd^{10} нейтрон - аннигилирует

Следующим с образует гамма-излучение, которое имеет длину волны
согласованную, потому что оно разбивается
на две согласованные (коэффициенты)

Верхний сцинтиллятор регистрирует
"мульти" из гамма-излучений и нейтронов
то не уничтожает - если оно-то
регистрируется одновременно или с
некоторым, но это возможное. а

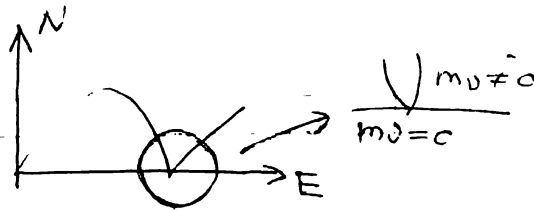


- Вспомогатель 1



- Вспомогатель 2

Масса нейтрона



Следует известно, что $m_ec^2 < 20 \text{ eV}$

Иоружение пространства и времени

Чем это при β-распаде.

Пространственное время -

Совпадение результатов эксперимента

и его зеркального отражения.

Δ-распад - симметрия $b_3 - e$; { пространство-
Δ-распад: Электронный $b_3 - e$ } время-
сокращение

β-распад - симметрия $b_3 - e$ - простран.

время сокращение и дубль.

Одном физическом процессе

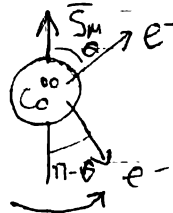
Δ β-активное ядро $\text{Co}^{60} \rightarrow \text{Ni}^{60} + e^- + \bar{\nu}_e$

Образование бозонное напр. e (сумма

ядра) и дубль симметрии генерации

распрогрессии бозонов массы

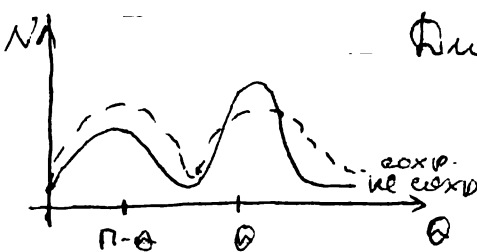
электронов и $\Theta : N(\Theta)$



Возможные 2 вар. нс.

- 1) $N(\emptyset) \neq N(\pi-\emptyset)$ - нарушение
- 2) $N(\emptyset) = N(\pi-\emptyset)$ - сохранение

$N\pi$



Он же β -распада получается,

что проспр. генерации

не сохр. и

(Если нет переноса альфа-частицы, то
 $N(\emptyset) \rightarrow N(\pi-\emptyset); N(\pi-\emptyset) \rightarrow N(\emptyset)$)

Оказывается, что это в β -распаде
 несохранение проспр. и генерации
 ведет к ~~изменению~~ изменению $\lambda, \tilde{\nu}$ в
 реакции.

~~γ -распад~~



Выделение γ излучения как следствие

~~изменения~~ перестройки ядерной структуры

в ядре.

Эффект Мессбауэра - излучение γ -излучения
 без. омеги. Для мессбауэровских

Muchis ourgoea Goupie been

Agpauw kan yewben => wouye-a

Yznaa. maae celiumpa.

20) Ускорение заряженных частиц.

$$\lambda g = \frac{t_0}{p}; E_k = \frac{p^2}{2m} \Rightarrow E_k T, \lambda g \downarrow - \text{заря}$$

Скорость частицы, тем сильнее Максвелл

1) Ускорение прямого действия

Ускорение заряда против гравитации
разности потенциалов. Более того,
на касательное генераторе и на генераторе
Бенедикт Граса

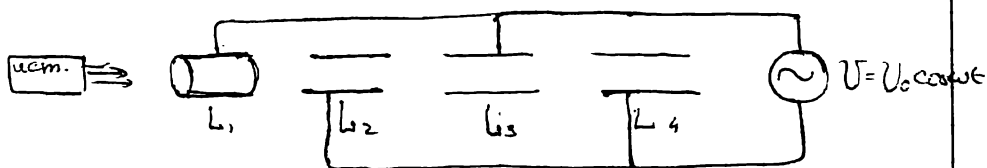
2) Импульсный ускоритель (Бенедикт)

Ускорение частиц и удерживается не
по потен. разности

3) Резонансное ускорение

Резонансное ускорение различается
по типу гармоник.

iii) Многократное ускорение



$$T = \frac{\ell}{V} = \frac{L}{2} \rightarrow \text{множ. пока частица}$$

проходит промежуток между излучениями,

Составь уравнение пренебрежим

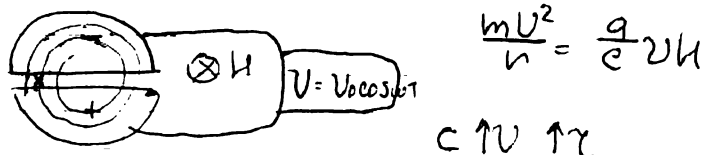
Т.к. в расстояние, соотношение между
глинями трубы должно быть $b_1 < b_2 < b_3$
но при больших η Эта же можно
принять

Чинчонские ускорители

Принцип - много кратное прохождение
одной и той же траектории.

Чинчон

Когда частица подходит к глинянику,
проходит много прохождений



$$C \uparrow V \uparrow r$$

Резонанс δ величина разности $r \sim C$

Даем более высокие энергии, тем
чичоном. Отличается от чинчона тем,
что имеет разрывы по
периметру. Скорости, т.к. это
установка низкоэнергетическая

Электир. ном. негативный механизм
частоты \Rightarrow частота ном. работы
качества обрацущий язычков, который
уменьшается из-за речи. ~~изменение~~
ниско. Газопровод работает только
в интуитивном ~~режиме~~ режиме
синхронно.

Синхрофазотрек

	ω	η	R
у.	ном	ном	режим
φ.	режим	ном	режим
с	ном	режим	ном
сφ	режим	режим	ном

4. Коллаген (устроение на макроуровне)
Принцип глубинки:

Действует симметрично на
левом и правом уровнях.

$$E = k + E_0^2 \quad \text{и} \quad \text{сумма сил на левом уровне}$$

$$\text{имеет вид: } \xrightarrow{k} \xleftarrow{E_0^2}$$

$$p^c = \sqrt{k(E_0^2 + k)} \quad \text{иначе: } E_0 \xleftarrow{\frac{E'}{2}} k$$

В системе y, m :

$$\begin{aligned} (2E_0)^2 - (0)^2 c^2 &= (E' + E_0)^2 - (p^c)^2 = \\ &= E'^2 + 2E'E_0 + E_0^2 - (k + 2E_0)^2 = \\ &= E'^2 + 2E'E_0 + E_0^2 - (E'^2 - E_0)/(E' + E_0) = \\ &= 2E'E_0 + 2E_0^2 \end{aligned}$$

$$\Rightarrow 2E = E'E_0 + E_0^2$$

$$E' = \frac{2E_0^2}{E_0} - E_0 \quad (1)$$

$$k' = 2 \left(\frac{E^2 - E_0^2}{E_0} \right) \quad (2)$$

Упрощение: $E \gg E_0$

$$k' = \frac{2E^2}{E_0}$$

Упрощение: $E_0 = 0,938 \Gamma_0$, $E = 10 \Gamma_0$,

$$k' = 2 \cdot 9 \Gamma_0$$

⑧ Фундаментальное частицы. Триадре
бимарных фужен и 12 фермийонов.

Триадреядные реалии в звездах

Название		1e	2e	3e	Σ	Q
Кварки	Верхнее	u up	c charm	t top/truth	$\Sigma + \frac{2}{3}$	
	Низкое	d down	s strange	b bottom/truth	$\Sigma - \frac{1}{3}$	
Лейтлонг	нейтрено	ν	ν_m	ν_c	$\Sigma 0$	
	Заряженное	e мень	μ мень	τ мень	$\Sigma -1$	

Протон и нейтрон состоят из 3х частиц
 $P(u, u d) \quad N(u d d)$

Кварки - фундаментальные фермиионы,

участвующие в сильных взаимодействиях

Лейтлонги - фунд. Фермиионы, не

уч-е в сильных вз.х

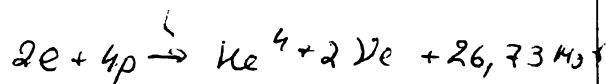
Адроматные кварки наз.м'ютоны редуктивно.

Фермиионы I и II поколения.

$e, \bar{e}(p, n), \text{ электрон/меринон}$

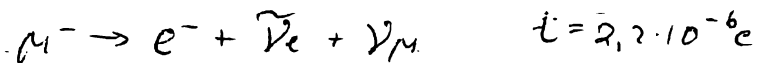
Фермиионы

4-го поколения

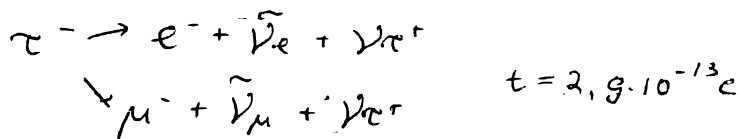


\Rightarrow где имеет место аннигиляция, с потерей массы p_{μ} доминирует заселение ν_{μ} в τ -коэффициенте.

II излучение — нестационарное
излучение



III излучение

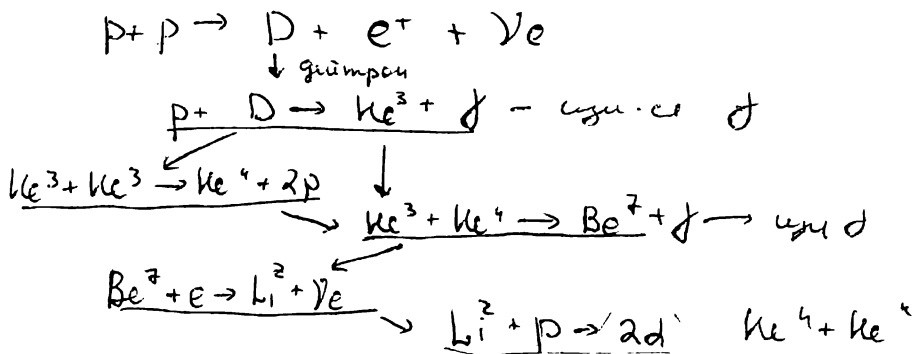


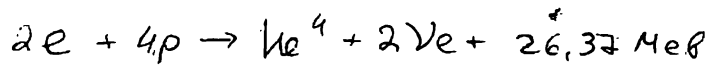
Все фермионы, кроме I и II излучения не испытывают.

Но благодаря процессам, происходящим с участием фермионов II и III

Теперь из ядерных реакций в звездах

PP упаковка





У звезд с большой температурой $\approx 10^4$
легк. CNO цикл.

Радиоактивное бета-расщепление
Все радиоактивные - обменные, переходы - дозоны

Бозон	Обозн.е	Радиоакт.е	S	Q
Фотон	γ	Электрон.	1	0
Лион	g	Скел.	1	+
Нейтр.нейтр. бозон	Z^0	сиг	1	0
Заряж. сиг бозон	$W^{+/-}$	сиг δ	1	+/-1

Бета-расщ. - спонтанный дозон:

$$S=0 \quad 2S+1=0 \quad - \text{спонт. дозон}$$

$$S=1 \quad 2S+1=3 \quad - \text{бета-расщ.}$$

$$S=2, \quad 2S+1=5 \quad - \text{мезонный}$$

82) Типологизируемые временные симбызы и их характеристика.

Четыре типичные временные симбызы

Основы характеристики временных симбозов

83. Эта основных временных симбозов -
лический, социальный, эмоциональный, гравитационный.

Основные характеристики этих симбозов

1) Конструирование временных симбозов -

~~спонтанное~~ определение временных
процессов, обусловленных различными
видами временных симбозов. (d)

2) Регуляция временных симбозов - порядок расположения
на некоторах проявлениях различных
временных симбозов. (T)

3) Характеристика временных симбозов,
обуславливавших различные временные симбозы
(T)

4) Содержание симбозов, обуславливающих
временные симбозы (Мы знаем, что,

Что обозначает это. Ст. 1-е

З а у них есть такое значение гравитации,
и предположим, что у грав-го
взаимодействия это тоже есть)

Чем больше масса основного
кванта взаимодействия, тем
меньше энергия этого вг.-я.
Основное квант можно свести в
таблицу

Взаимодействие	α	r_0	T	квант	единица
Электрическое	1	10^{-13}	10^{-23} с	электрон	9
Эл/м	$\frac{1}{137}$	∞	10^{-16}	фотон	2
Сильное	10^{-14}	10^{-16}	10^{-5}	кимп/заряд	Z^a/W^{1-a}
Гравит.	10^{-39}	∞	∞	гравитон	X

I) V_0 - Энергия вг.-я

$$\left. \begin{aligned} V &= V_0 \varrho (-r/r_0) \\ \alpha &= V_0/mc^2 \\ T &= \hbar/V_0 \end{aligned} \right\} \begin{array}{l} \text{связь основных} \\ \text{параметров} \end{array}$$

Например + Электромагнитные волны

$$F_3 = e^2 \quad \text{---} \quad \text{---} \quad U_0 = \frac{e^2}{4\pi r}$$

$$V_{min} = \frac{\hbar}{mc} = \lambda_{\text{кванн}}$$

$$d = \frac{U_0}{mc^2} = \frac{e^2 mc}{4\pi mc^2} = \frac{e^2}{4\pi c} = \frac{1}{137}$$

$$T = \frac{\hbar}{U_0} = \frac{\hbar^2}{e^2 mc} = 10^{-6} \text{ с}$$

Заряд - величина, определяющая способность частиц к взаимодействию.

Эл. заряд - сущ. ч. в эл. и ат. ф-ях
Спад - к спад.

Убыв - к убыванию

А что с грав-и?

Гравитационное взаимодействие

$$d_{gp} = \frac{G m p^2}{4\pi c} \quad G \sim 10^{-11} \text{ C} \sim 10^9 \text{ h} \sim 10^{-34}$$

Гравитационное взаимодействие

массы - это это обнаружение гравитации
своих дистанций.

$$m_p \sim \cancel{10^{13}} 10^{13} \text{ кг}$$

Безоп. хара - до конца форма неизвестна, например
"пронизывает" всю нашу гравитацию,
и не определяет этого пока общеизвестный

(23) Электромагнитное взаимодействие
Зависимость от начального си-
ловой

Пример Заряд - величина, определяющая
принадлежность к электромагнитному
взаимодействию

Электромагнитное вз. с. сила взаимо-
действия
все решения ~~всегда~~ ^{всегда} и кроме
чтобы) сила пропорц.

Переносящие электромагнитного
взаимодействие являются фокусом,
которые разделяются в виде фокусов:
~~один~~ ^{один} и вертикальные

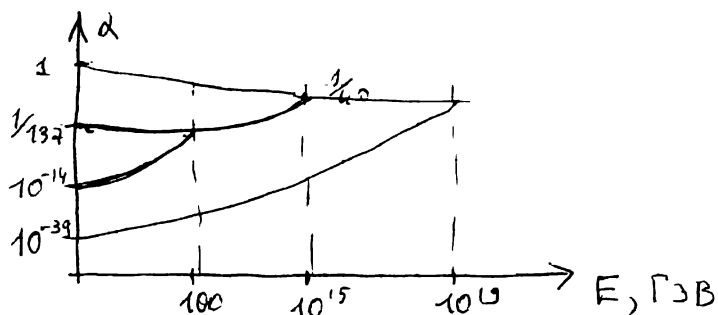
Фокус Фокус: $E = c^2 k^2 t^2$;

$$E = t \omega; p = t k = t \frac{\omega}{c} =, t \omega = p c^2 = t k c^2$$

Вертикальные фокусы: $E^2 \neq t^2 k^2 c^2$

Неведение абсолютных фокусов описывается
классическими электрическими
вертикальными - нет

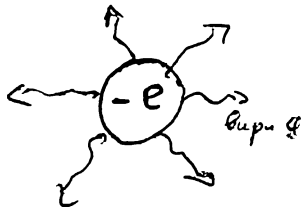
При больших энергиях все бы...
смущало бы одно



но $\alpha = \frac{e^2}{4\pi c}$. Получаем, что при
увеличении E изменение заряда
электрона²-кем, просто без сомнения
он уменьшит. Объясним это

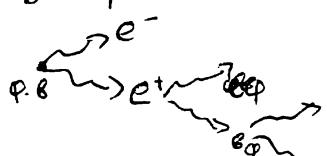
Понижение вакуума

⇒ Электрон в вакууме



Если не происходит
взаимодействия с веществом, то вакуум форми-
руется независимо.

Вакуум формируется из электронов и
позитронов. Они могут между собой



или Φ , имеющее

меньшую массу

Нара ℓ^+, ℓ^- называется из-за наличия
несколько электронов, и вокруг
электронов получается "шуба"
напереворотного вакуума.

Такая шуба буде вокруг нейтрона
 ℓ , имеющей получившее из-за него
размеры шубы с ростом энергии
будет уменьшаться, т.к. заряды
могут находить ближайшую друг к другу.
(Это доказано спектром с рассеянием
ионов - ростом количества сеч-и
расс с уменьшением)

Напереворотная "шуба" уменьшает
заряд электрона, и на полученных
в неё находятся и исходному электрону
равны, т.к. электронов \Rightarrow одинаково
один электрону, он уменьшает его
ион \Rightarrow

Испытанный заряд $|e^+| > |e| = 1,6 \cdot 10^{-19} \text{ к.}$

(24) Стадия взаимодействия и его
СР-квантовые процессы. Энергетическая
эф-л. и Синглетное "нагрев".
Измерение величина энергии Вайкера

Стадия взаимодействия - взаимодействие
с участием нейтрино.

Например, процесс $\bar{\beta}$ -распада

$$h \rightarrow p + e^+ + \bar{\nu}_e$$

- и $\rightarrow d$ засчет стадии взаимодействия.

Стадия взаимодействия - внутренний куплер
процесс

Первичная стадия взаимод. - $Z^0\delta_0$,
 $W^\pm\delta_0$ или

Четвертичная W^\pm дезональ является стадией
заряда, он является характеристической
инерционной частицей в начальном
взаимодействии.

$$\delta_{wz} = \frac{g_z^2}{hc}, \quad \delta_{ww} = \frac{g_w^2}{hc} - \text{коэффициент}$$

$$\text{дисперсии} \approx 10\%$$

$$m_Z = 91,2 \text{ ГэВ}, m_W = 80,4 \text{ ГэВ} -$$

разница в ширине радиуса
(такое значение m , чтобы сократить α)

Было обнаружено, что при сдвиге
взаимодействия не сохраняется
квазичастота из-за мора, что в них
явно нарушено, чем более острый
сдвиг по косому.

При больших энергиях E/μ и сдвиге
взаимодействия становится θ_w -
электропреход. Сменяется обстоятельство
один-сторонний θ_w

$$\frac{e}{g} = \sin \theta_w - \text{это не равновесие } \sin \theta_w$$

но e/g может меняться тем самым θ_w -
 θ_w когда θ_w не является $\pi/2$ когда
они неравнозначны.

Экспериментальное:

* Квазичастота $e^+ e^-$



Они рассеиваются на некотором угол

Измеряют интенсивность $I^+ + I^-$

Если бы это число было одинаково,

то например можно сказа e $I^+ = I^-$

Если это число неодинаково, то $I^+ \neq I^-$

При $E \sim 1 \text{ MeV} = 10^3 \text{ GeV}$ $I^+ = I^-$

При $E \sim 50 \text{ GeV}$ — $I^+ \neq I^-$

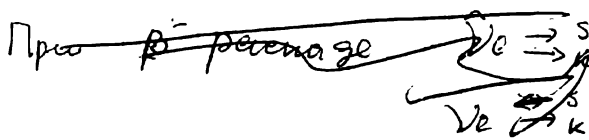
$E \sim 100 \text{ GeV}$ $I^+ \neq I^-$ (значение, разн.)

$$e^+ \xrightarrow{E/2} E \xleftarrow{E/2} e^-$$

\Rightarrow С ростом энергии e^+ и e^- переходы

в электронах становятся

асимметрическими



~~античастицы~~ античастицы
появляются и исчезают
и являются причиной
асимметрии.
и симметрии процессов
изменяется

Измерение $I : I_1 \xleftarrow{\frac{k}{s}} , I_2 \xleftarrow{\frac{k}{s}}$

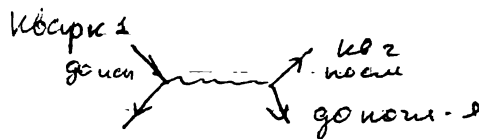
$$I_1 \neq I_2$$

$$A = \frac{I_2 - I_1}{I_1 + I_2} = f(\sin \Theta_w) - \text{асимметрия}$$

(25) Сильное F_3 -е, цветовой заряд, ионизация, удержание кварков. Величина обезличение.

Сильное F_3 -е

$\lambda = 1$, $F_{\text{сильн}} = V \text{ gpa}$, самое большое значение.



$$\alpha = \frac{g^2}{4\pi c} = 1 \quad ; \quad U = -g^2 \frac{e^{-\frac{r}{\lambda_0}}}{r} \text{ - потенциал}$$

Свойства сильного F_3 -е:

1) Сильное F_3 -е обуславливает з.

2) Устойчивость квarks поддерживается за счет

притяжением

2) Не зависит от знака электрич. зар.

(P-P, P-n, n-n - одинаковое F_3 -е)

3) Переносчик - глюон

4) Чем больше глюонов, тем меньше цветовой "заряд".

5) Неуниверсальность: не все глюоны

участвуют в сильном F_3 -е:

Участвующие - адроны, не участвующие.

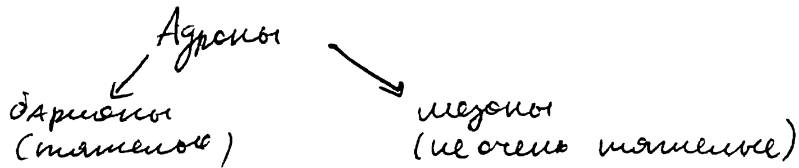
6) Однородные частицы Вацекой симметрии.

(Найденные при этом Бар-ы законов

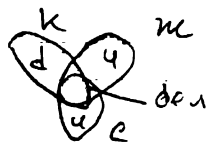
свр-1) - выполняющиеся и приближенно

и точные законы свр-1 для

стабильных частиц.



"Убийца" - дополнительное слово к "участникам"
Размером m , c , k (нейтрон, π^+ , π^-)
Состоит из антикварда \bar{u} и \bar{d} и



Это принцип бессудного смысла стабильных частиц -

Участие любых частиц в генезисе
Состоит из двух

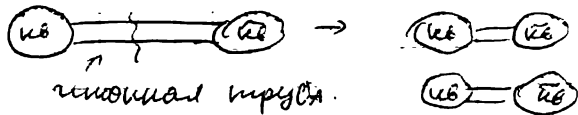
π^+ мезон $(u, \bar{d}) \Rightarrow$ анти- u, \bar{d}

голиний ~~ядер~~. Состоит из противополож-

Кварки меншою співаку, не варто
дивувати скропок

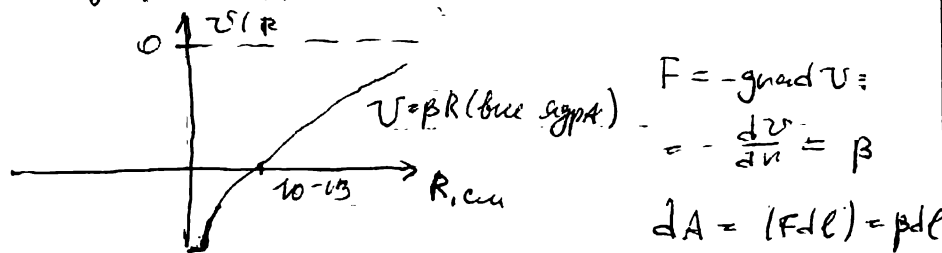
І на самому ділі $3(6+6) = 36$ парних
кварків (с урахуванням

Утворення кварків. Асимптотичний ефект
Приєднання двох кварків відбувається
(якщо це є корисно мінімум)



Кварк не є б. єод. буде. нам. з діл.
їз + кварк / антикварк буде < 0.

~~Багаторозрізані~~ - вибираємо



$$A_{12} = \int_{r_1}^{r_2} F dl = \beta(r_2 - r_1)$$

Кварк стає - від'єднаним, але $r_2 \rightarrow \infty$,
то ми маємо $A_{12} \rightarrow \infty \Rightarrow$ б. кварків З)
так.

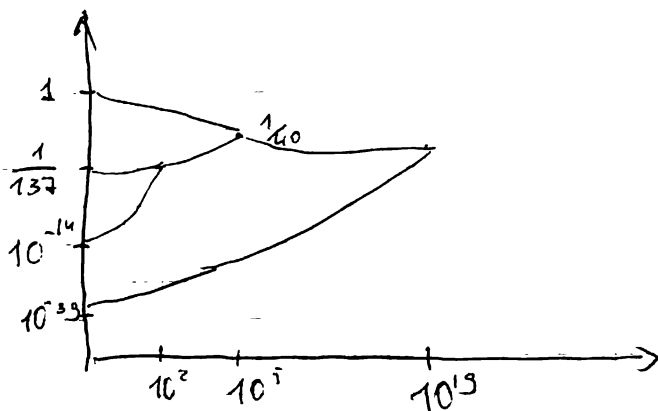
Асимптотическое сходство

При $\tau < Re \approx 10^{-15}$ синий карди

применяется и ведут себя нормально
свободные течения, но они никогда
не могут разойтись, у них сходство

в разных гидравлических поглощении.

Влияние обогащения



Сравнение энергии ~~потока~~ $E_{\text{pot}} \propto Re^{-1} \Rightarrow$

о наклоне

- влияние концентрации гидроокиси алюминия

- влияние синих дисперсий